

9A、900V N沟道增强型场效应管

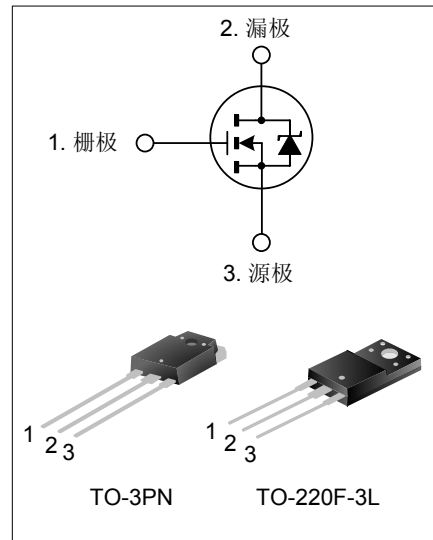
描述

SVF9N90F/PN是N沟道增强型高压功率MOS场效应晶体管，采用士兰微电子的F-Cell™平面高压VDMOS工艺技术制造。先进的工艺及条状的原胞设计结构使得该产品具有较低的导通电阻、优越的开关性能及很高的雪崩击穿耐量。

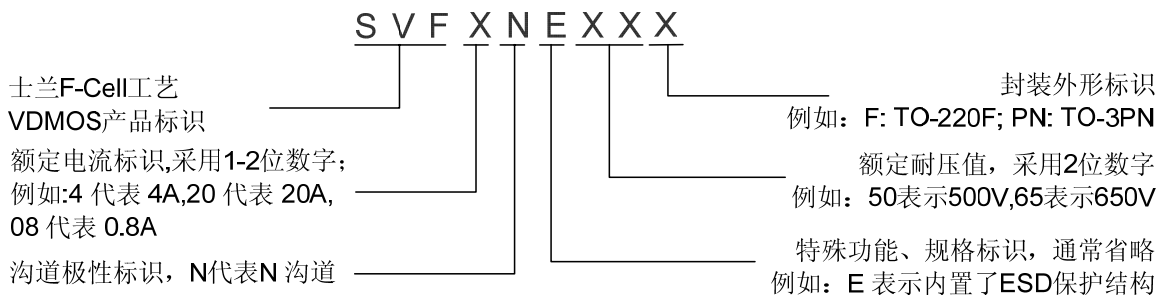
该产品可广泛应用于 AC-DC 开关电源，DC-DC 电源转换器，高压 H 桥 PWM 马达驱动。

特点

- * 9A, 900V, $R_{DS(on)}$ (典型值) = 1.10Ω@ $V_{GS}=10V$
- * 低栅极电荷量
- * 低反向传输电容
- * 开关速度快
- * 提升了 dv/dt 能力



命名规则



产品规格分类

产品名称	封装形式	打印名称	材料	包装
SVF9N90F	TO-220F-3L	SVF9N90F	无铅	料管
SVF9N90PN	TO-3PN	9N90	无铅	料管

极限参数 (除非特殊说明, $T_C=25^\circ\text{C}$)

参数名称	符号	参数范围		单位
		SVF9N90F	SVF9N90PN	
漏源电压	V_{DS}	900		V
栅源电压	V_{GS}	± 30		V
漏极电流	I_D	$T_C=25^\circ\text{C}$		A
		$T_C=100^\circ\text{C}$		
漏极脉冲电流	I_{DM}	36.0		A
耗散功率 ($T_C=25^\circ\text{C}$) - 大于 25°C 每摄氏度减少	P_D	68	240	W
		0.54	1.92	W/ $^\circ\text{C}$
单脉冲雪崩能量 (注 1)	E_{AS}	823		mJ
工作结温范围	T_J	$-55\sim+150$		$^\circ\text{C}$
贮存温度范围	T_{stg}	$-55\sim+150$		$^\circ\text{C}$

热阻特性

参数名称	符号	参数范围		单位
		SVF9N90F	SVF9N90PN	
芯片对管壳热阻	$R_{\theta JC}$	1.84	0.52	$^\circ\text{C}/\text{W}$
芯片对环境的热阻	$R_{\theta JA}$	120	50	$^\circ\text{C}/\text{W}$

电性参数 (除非特殊说明, $T_C=25^\circ\text{C}$)

参数	符号	测试条件	最小值	典型值	最大值	单位
漏源击穿电压	$B_{V_{DSS}}$	$V_{GS}=0V, I_D=250\mu\text{A}$	900	--	--	V
漏源漏电流	I_{DSS}	$V_{DS}=900V, V_{GS}=0V$	--	--	1.0	μA
栅源漏电流	I_{GSS}	$V_{GS}=\pm 30V, V_{DS}=0V$	--	--	± 100	nA
栅极开启电压	$V_{GS(th)}$	$V_{GS}=V_{DS}, I_D=250\mu\text{A}$	2.0	--	4.0	V
导通电阻	$R_{DS(on)}$	$V_{GS}=10V, I_D=4.5A$	--	1.10	1.4	Ω
输入电容	C_{iss}	$V_{DS}=25V, V_{GS}=0V,$ $f=1.0\text{MHz}$	--	1634.2	--	pF
输出电容	C_{oss}		--	143.5	--	
反向传输电容	C_{rss}		--	7.1	--	
开启延迟时间	$t_{d(on)}$	$V_{DD}=450V, R_G=25\Omega,$ $I_D=9.0A$	--	21.44	--	ns
开启上升时间	t_r		--	30.76	--	
关断延迟时间	$t_{d(off)}$		--	56.24	--	
关断下降时间	t_f		(注 2, 3)	--	30.88	
栅极电荷量	Q_g	$V_{DD}=720V, V_{GS}=10V,$ $I_D=9.0A$	--	30.52	--	nC
栅极-源极电荷量	Q_{gs}		--	7.97	--	
栅极-漏极电荷量	Q_{gd}		(注 2, 3)	--	11.92	

源-漏二极管特性参数

参数	符号	测试条件	最小值	典型值	最大值	单位
源极电流	I_S	MOS 管中源极、漏极构成的反偏 P-N 结	--	--	9.0	A
源极脉冲电流	I_{SM}		--	--	36.0	
源-漏二极管压降	V_{SD}	$I_S=9.0A, V_{GS}=0V$	--	--	1.4	V
反向恢复时间	T_{rr}	$I_S=9.0A, V_{GS}=0V,$ $di_F/dt=100A/\mu S$ (注 2)	--	657.04	--	ns
反向恢复电荷	Q_{rr}		--	5.56	--	μC

注：

1. $L=30mH, I_{AS}=7.10A, V_{DD}=50V, R_G=25\Omega$, 开始温度 $T_J=25^\circ C$;
2. 脉冲测试：脉冲宽度 $\leq 300\mu s$, 占空比 $\leq 2\%$;
3. 基本上不受工作温度的影响。

典型特性曲线

图1. 输出特性

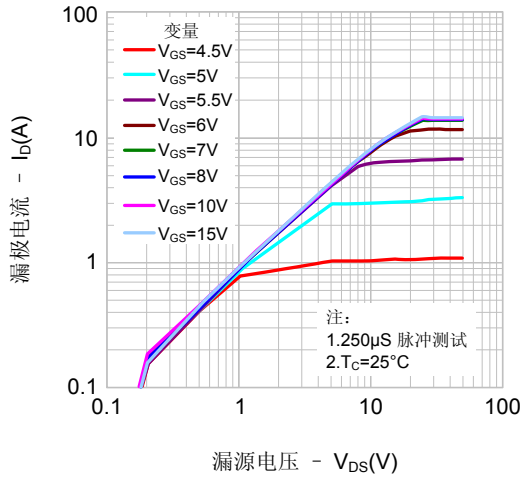


图2. 传输特性

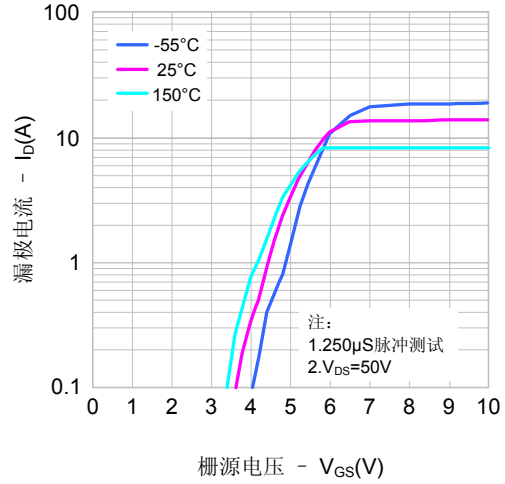


图3. 导通电阻vs.漏极电流和栅极电压

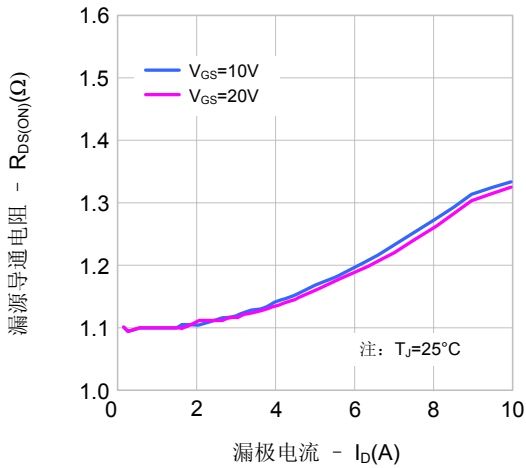


图4. 体二极管正向压降vs.漏极电流、温度

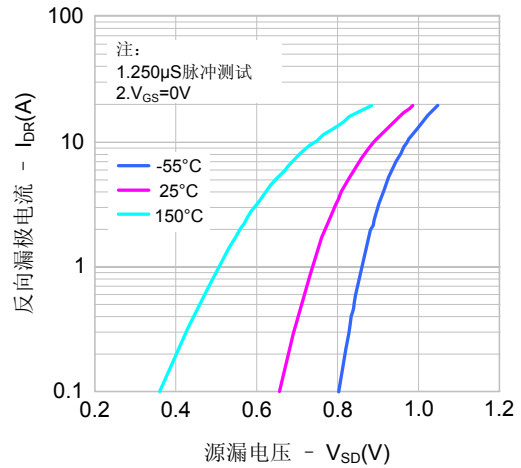


图5. 电容特性

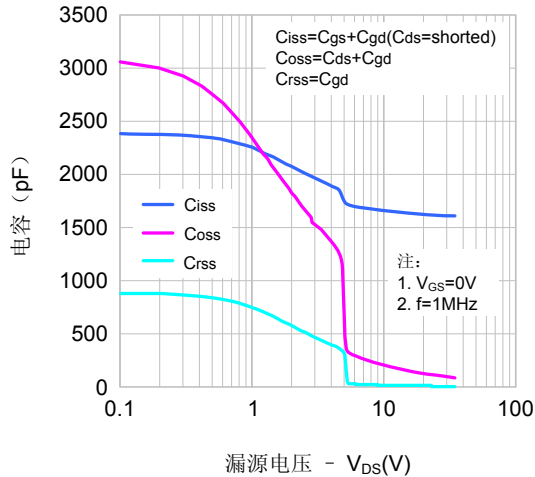
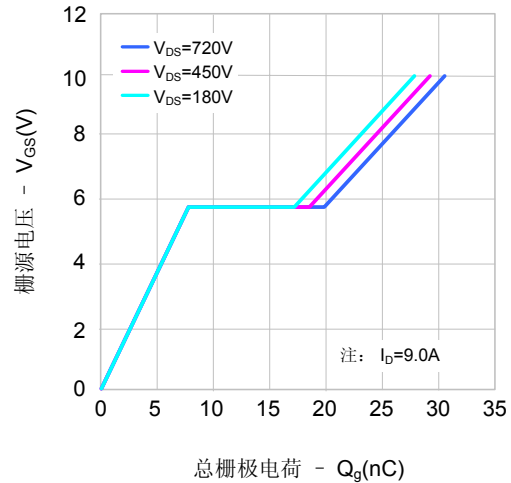


图6. 电荷量特性



典型特性曲线 (续)

图7. 击穿电压vs.温度特性

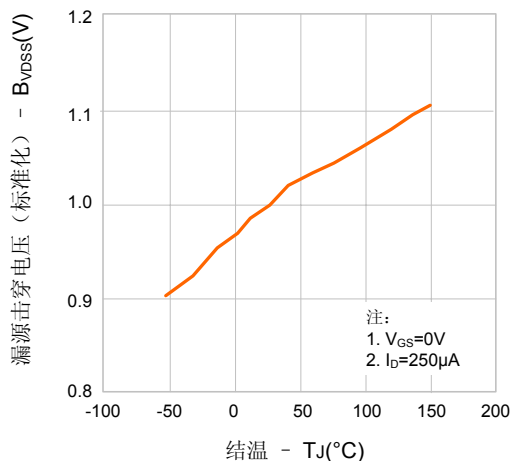


图8. 导通电阻vs.温度特性

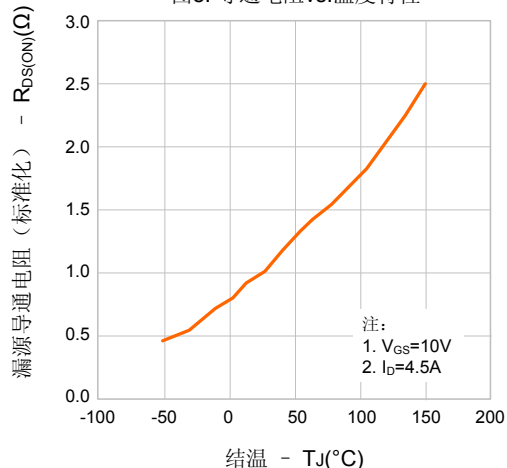


图9-1. 最大安全工作区域(SVF9N90F)

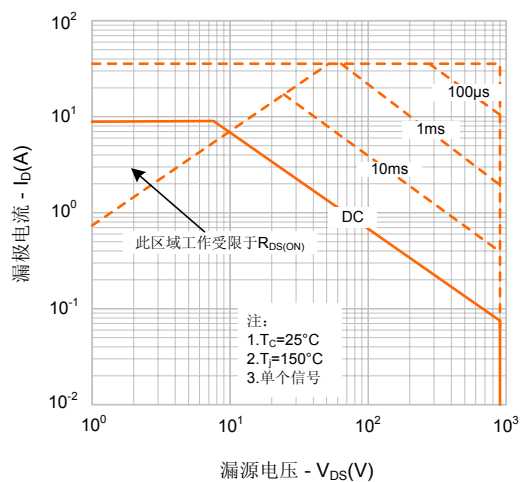


图9-2. 最大安全工作区域(SVF9N90PN)

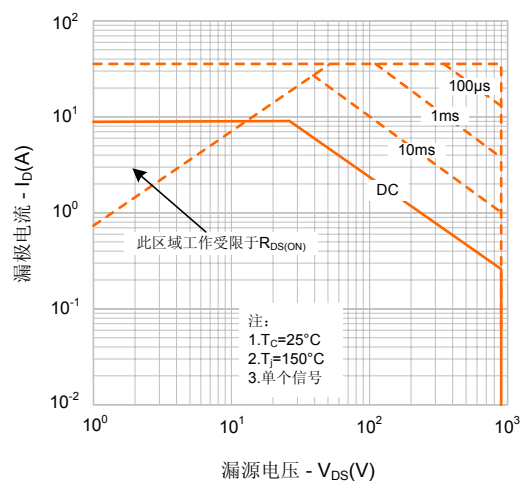
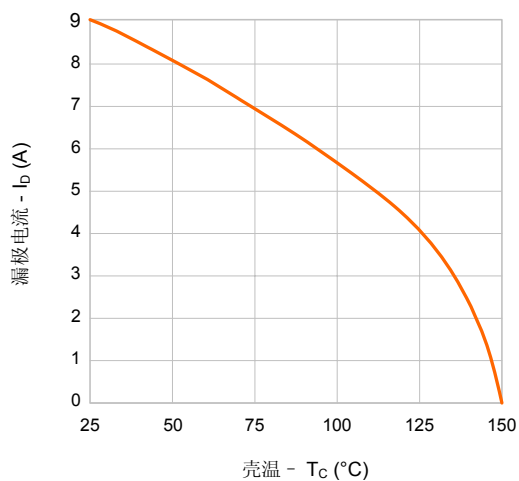
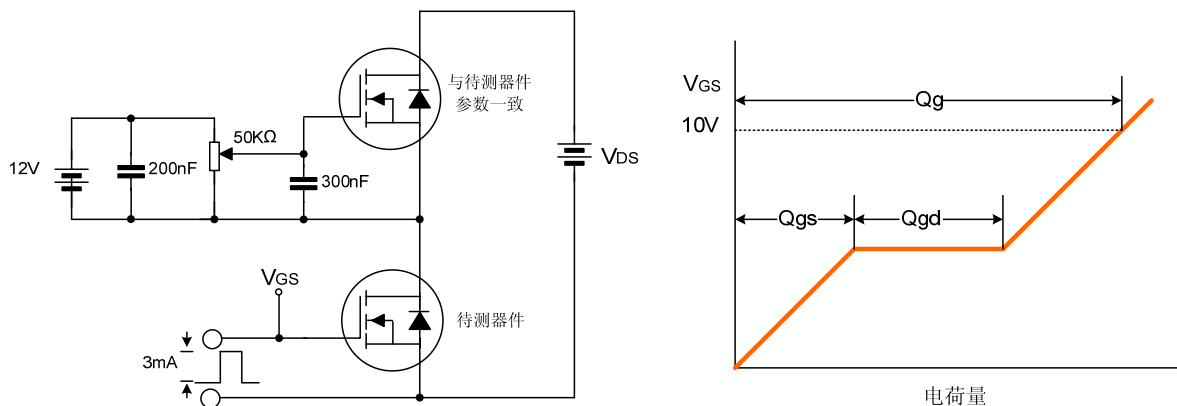


图 10. 最大漏极电流vs. 壳温

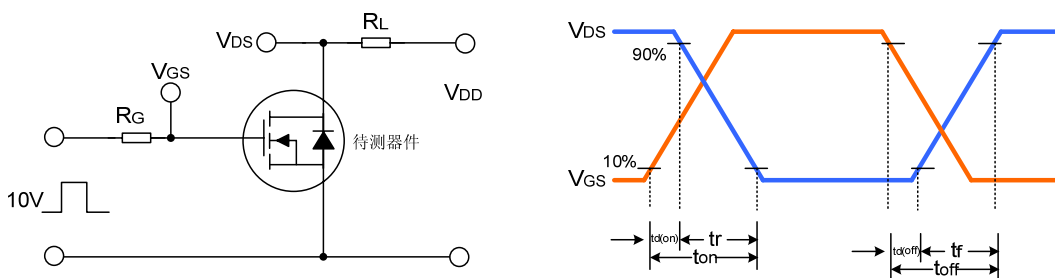


典型测试电路

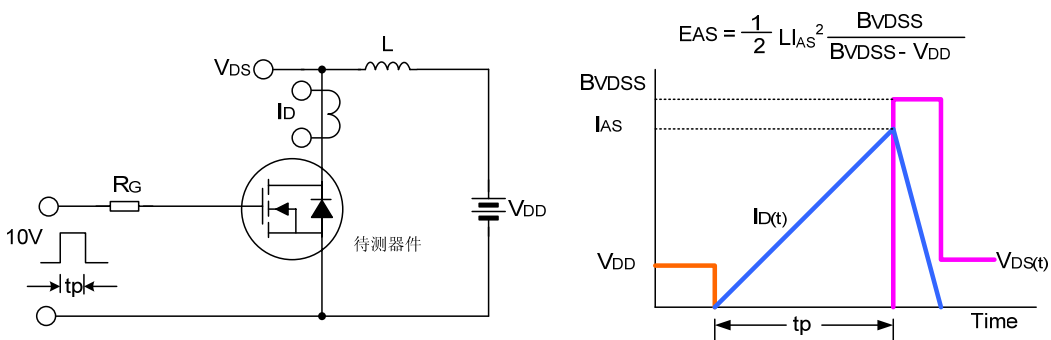
栅极电荷量测试电路及波形图



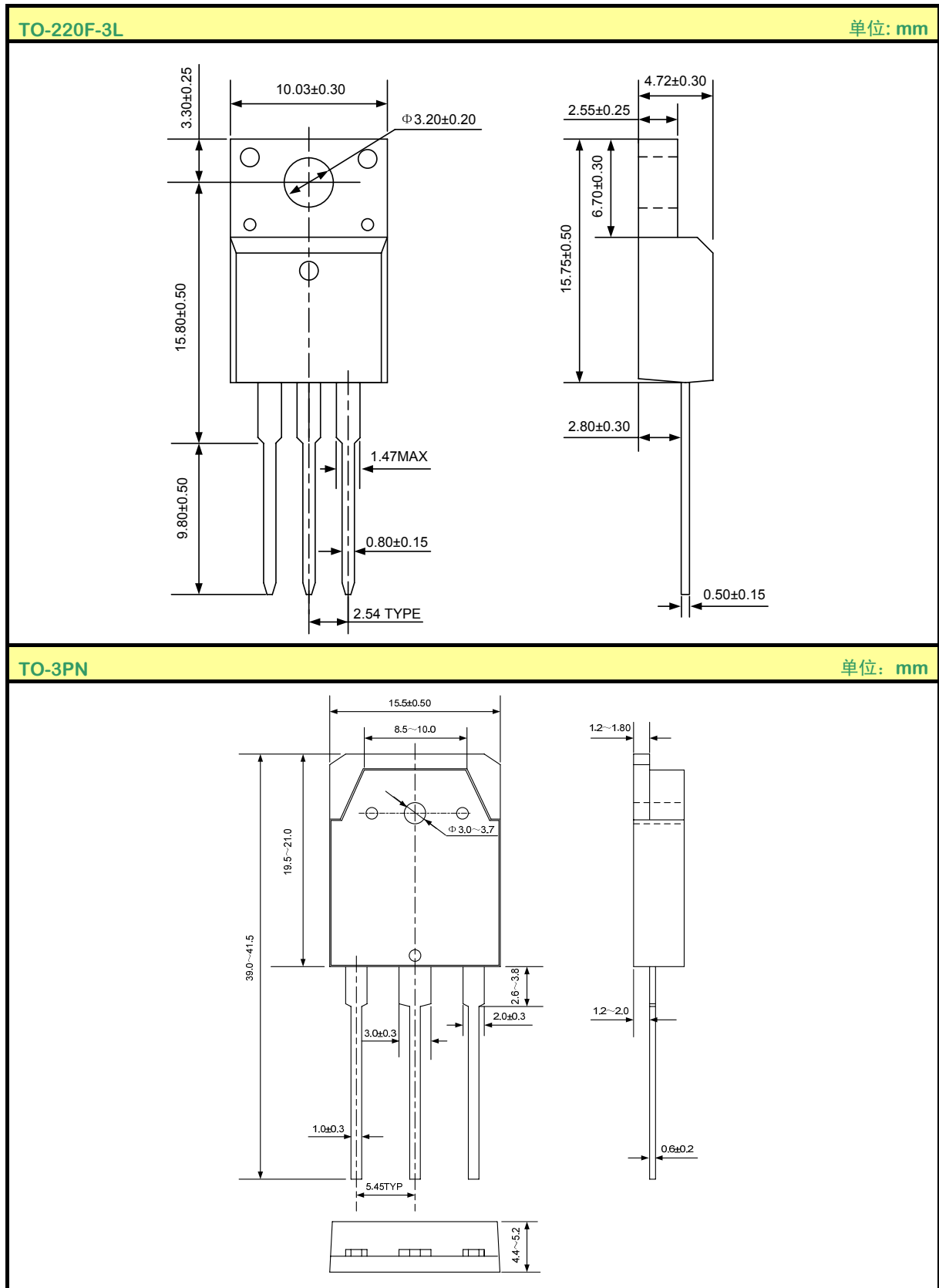
开关时间测试电路及波形图



EAS测试电路及波形图



封装外形图



声明:

- 士兰保留说明书的更改权, 恕不另行通知! 客户在下单前应获取最新版本资料, 并验证相关信息是否完整和最新。
- 任何半导体产品特定条件下都有一定的失效或发生故障的可能, 买方有责任在使用 **Silan** 产品进行系统设计和整机制造时遵守安全标准并采取安全措施, 以避免潜在失败风险可能造成人身伤害或财产损失情况的发生!
- 产品提升永无止境, 我公司将竭诚为客户提供更优秀的产品!

附:

修改记录:

日期	版本号	描述	页码
2012.05.30	1.0	原版	